

I-177 常時微動による構造物の振動モード解析について

九州大学 正員 小坪清真
 同 学生員 荒牧軍治
 同 同 ○山県達弥

1. 緒言

常時微動測定による地震時地盤卓越周期の推定、ランダムな走行荷重による橋梁の振動を解析しその固有振動周期を求めるなど、不規則振動論を応用して地盤および構造物の振動性状を解析するこ事が各方面で行われてている。しかし、これらは構造物の固有周期や減衰定数を解析するにとどまり、振動型まで解析した例は少い。本論文は、常時微動を測定解析することにより、構造物の固有周期や減衰係数ばかりではなく、その振動型をも解析できることを示したものである。

2. 地盤のパワースペクトルと振動型

常時微動を基盤からの入射波による上層地盤の重複反射の現象と考えれば、常時微動のパワースペクトルの地盤深さ方向の分布は地盤のせん断振動の振動型と一定の関係にあるであろう。図-1は各層地盤における上昇波 R_i と下降波 F_i とを示したもので次の関係が成立つことは周知の通りである。

$$\left. \begin{aligned} F_1(T) &= R_1(T - H_1/V_1) \\ R_1(T) &= \gamma_1 R_2(T - H_2/V_2) + \beta_1' F_1(T - H_1/V_1) \\ F_2(T) &= \beta_1 R_2(T - H_2/V_2) + \gamma_2' F_1(T - H_1/V_1) \\ R_2(T) &= \gamma_2 R_3(T - H_3/V_3) + \beta_2' F_2(T - H_2/V_2) \\ &\cdots \\ F_m(T) &= \beta_{m-1} R_m(T - H_m/V_m) + \beta_m' F_{m-1}(T - H_{m-1}/V_{m-1}) \\ R_m(T) &= \gamma_m R_0(T) + \beta_m' F_m(T - H_m/V_m) \end{aligned} \right\} \quad (1)$$

ここに、 V_i は各層の波動速度、 γ_i 、 β_i は($i-1$)層と i 層

間の透過係数と反射係数、 R_i 、 F_i は i 層と($i+1$)層間の透過係数と反射係数である。

基盤からの入射波 $R_0(T)$ を用いて各層の波動の大きさを求めることができる。ここでは $R_0(T)$ として、0.25 g/sから0.25 g/sあたりに10%までの振動数成分を一様に含む人工ランダム波を用い、図-2に示す一層および二層地盤に対して波動の重複反射を計算し各深さでの波動のパワースペクトルを求めた。これが、図-3である。次に、このスペクトルがピークを示す振動数におけるパワースペクトルの平方根の深さ方向の分布を示したもののが図-4のれ印である。

一方、せん断振動論によりこの地盤の固有振動数を求めるとき前記波動論による卓越振動数とよく一致する。また、図-4の実線は振動論によって得られたせん断振動型を表す。

図-1 上昇下降波

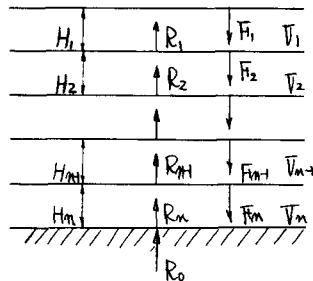
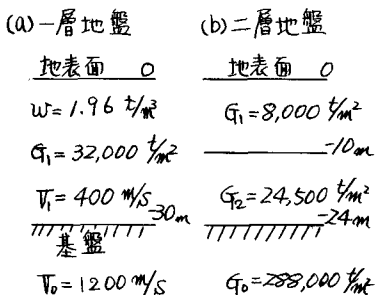


図-2 地盤



これらの数値計算から明らかのように、基盤から入射する波動の重複反射によって生ずる地盤の卓越振動数における波動のパワースペクトルの平方根の分布は、せん断振動論によって求められる地盤の振動型に相似であることがわかった。したがって、一般的な構造物においても、構造物の各部で常時微動を測定することによって、その振動型が解析できるものと思われる。

3. 不規則振動論による多自由度系の変位応答

単位長重量 $w(x)$ 、 r 次の振動型が $Y_r(x)$ 、 r 次の固有円振動数が η_r 、減衰定数が β_r の多自由度系が地動加速度 $\phi(t)$ をうけるときの振動変位のパワースペクトル $S_y(w)$ は次式で表わされる。

$$S_y(w) = |dy(iw)|^2 S(w) \quad (2)$$

ここで、 $dy(iw)$ は任意点 x のリセプタنس、 $S(w)$ は地動のパワースペクトル

である

$dy(iw)$ は次式で表わされる。

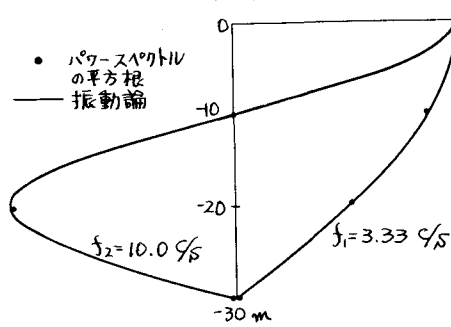


図-4 パワースペクトルの平方根の分布
(a)一層地盤

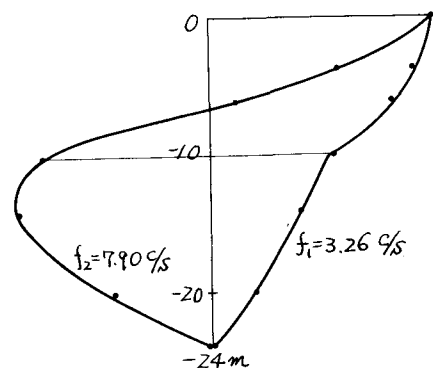
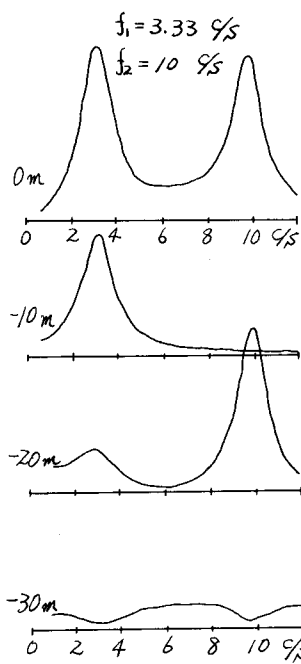


図-4 パワースペクトルの平方根の分布

図-3 地盤のパワースペクトル

(a)一層地盤



(b)二層地盤

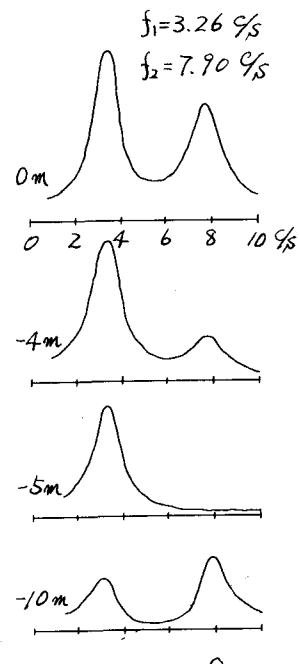


図-5

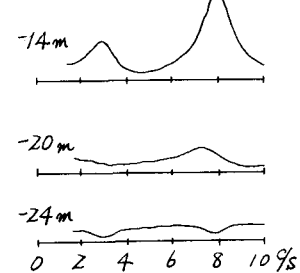
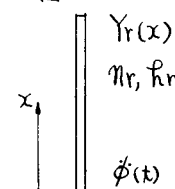


図-5

(b)二層地盤

図-3 地盤のパワースペクトル
(b)二層地盤

$$dy(iw) = \sum_r \frac{\beta_r Y_r(x)}{\eta_r^2 - \omega^2 + 2i\bar{h}_r w} \quad (3) \quad (\beta_r \text{ は } r\text{ 次の刺激係数})$$

$$|dy(iw)|^2 = \left\{ \sum_r \frac{\beta_r Y_r(x)(\eta_r^2 - \omega^2)}{(\eta_r^2 - \omega^2)^2 + 4\bar{h}_r^2 w^2} \right\}^2 + \left\{ \sum_r \frac{\beta_r Y_r(x) \cdot 2\bar{h}_r w}{(\eta_r^2 - \omega^2)^2 + 4\bar{h}_r^2 w^2} \right\}^2 \quad (4)$$

\bar{h}_r が十分小さくない場合、固有振動数がはなれていく場合には、近似的に次式で表わされる。

$$\begin{aligned} |dy(iw)|^2 &= \sum_r \left\{ \frac{\beta_r Y_r(x)(\eta_r^2 - \omega^2)}{(\eta_r^2 - \omega^2)^2 + 4\bar{h}_r^2 w^2} \right\}^2 + \sum_r \left\{ \frac{\beta_r Y_r(x) 2\bar{h}_r w}{(\eta_r^2 - \omega^2)^2 + 4\bar{h}_r^2 w^2} \right\}^2 \\ &\approx \sum_r \beta_r^2 Y_r^2(x) \frac{1}{(\eta_r^2 - \omega^2)^2 + 4\bar{h}_r^2 w^2} \end{aligned} \quad (5)$$

したがって、第 r 次の固有振動数における変位のパワースペクトルの分布は次式となる。

$$S_y(w) = \left\{ \sum_r \beta_r^2 Y_r^2(x) \frac{1}{(\eta_r^2 - \eta_s^2)^2 + 4\bar{h}_r^2 \eta_s^2} \right\} \cdot S(w) \quad (6)$$

$\eta_r = \eta_s$ の場合の値が特に大きくなるので、上式の値は次のようになる

$$S_y(w) = \beta_s^2 Y_s^2(x) \frac{S(w)}{4\bar{h}_s^2 \eta_s^2} \quad (7)$$

すなはち、パワースペクトルの平方根の分布は振動型 $Y_s(x)$ に近似的に等しくなる。

4. 実橋に対する測定例

図-6(a)は測定の対象とした名護屋大橋(ダイビダーキ橋、佐賀県)である。この橋については、すでに、理論計算および共振機試験により固有振動数および振動型が求められていく。

実験において、換振器は速度型で

(各々、固有周波数 0.3 Hz)

上下方向および水平方向を測定した。

換振器からの信号は増幅器を通してデーターレコーダーに記録し、その際、モニターオッショロを用いて振幅の最大を調整した。

又、AD変換器がなかったので、データーレコーダーより直記式電磁オッショロに記録し、これより 0.04 sec おきに読みとり Digital 化した。なお、再生に当っては高周波雑音を消すことおよび低次の振動を強調するため、データーレコーダーからの出力を積分し変位を電磁オッショロに記録した。

図-6(a) 名護屋大橋 単位 m

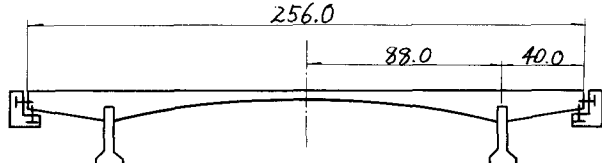


図-6(b) 換振器の設置場所

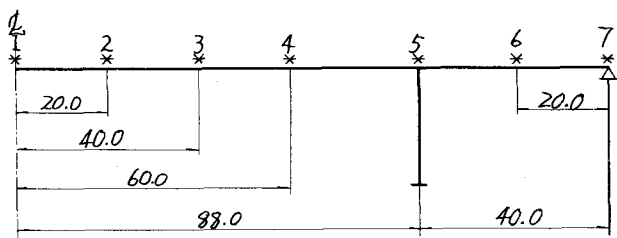


図-7は各測定における上下方向変位のパワースペクトルである。変位記録を読みとったため2次以上のパワースペクトルは出なかった。速度記録を読みとれば高次振動まで出るであろう。

表-1、図-8は起振機実験による変位振動型と常時微動による変位振動型を示す。常時微動による変位振動型は各測定におけるピークのパワースペクトルの平方根分布を求めたものである。

表-1 振動型

5. 考察

以上の結果より、(7)式において理論的に求められたように、パワースペクトルの平方根分布は振動型 $Y_s(x)$ に近似的に等しくなることがわかる。

測定	上下振動		水平振動	
	A	B	A	B
1	1.00	1.00	1.00	1.00
2	0.59	0.60	0.74	
3	0.32	0.31	0.54	0.44
4	0.19	0.11	0.25	
5	0.0	0.0	0.03	0.08
6			0.0	0.0
7			0.0	0.0

A: 常時微動による振動型

B: 起振機による振動型

参考文献

- (1) J. D. Robson 「An Introduction to Random Vibration」
 - (2) 小坪・荒牧・高田 「ディビダック橋の振動性状に関する試験」
- 九大工学集報 昭和45年1月

図-7 変位のパワースペクトル
上下振動

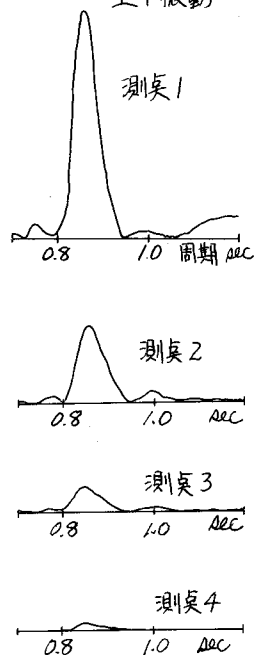
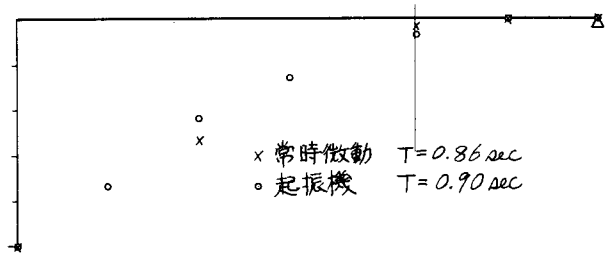


図-8 振動型

(a) 上下振動



(b) 水平振動

